

УДК 621.372.81.09

## О МЕТОДЕ МНОГОКРАТНО ОТРАЖЕННЫХ ВОЛН

Г. И. Макаров, Л. А. Федорова

Рассматривается вопрос о строгости представления поля в волноводе в виде ряда многократно отраженных волн. В рамках плоской модели показано, что строгое решение волноводной задачи наряду с разложением по лучам содержит разложение по волнам другого типа (боковым и поверхностным волнам). Обсуждаются некоторые свойства боковых и поверхностных волн в волноводе.

В настоящее время известны два подхода к проблеме распространения радиоволн в волноводах простейшей геометрической формы. Один из них связан с методом нормальных волн [1, 2], другой — с дифракционно-лучевым методом, или методом скачков [3]. При этом считается, что оба метода эквивалентны, а нестрогость дифракционно-лучевого представления поля связывают только со способом вычисления соответствующих интегралов [4, 5]. В настоящей работе мы собираемся внести ясность в некоторые аспекты этого вопроса и на примере плоской модели волновода покажем, что возможны ситуации, когда для строгого описания поля разложение по лучам следует дополнить разложением по волнам другого типа, именно — боковым и поверхностным волнам. Можно ожидать, что и в рамках других задач будет иметь место «неполнота» разложения по лучам. Это обстоятельство следует учесть при построении решения методом конструирования [5, 6].

Формально ряд многократно отраженных волн получается из строгого решения (представленного для определенности в виде контурного интеграла) путем разложения

$$(1 - R_1 \tilde{R}_2)^{-1} = \sum_{n=0}^{\infty} (R_1 \tilde{R}_2)^n \quad (1)$$

в бесконечную геометрическую прогрессию по степеням коэффициентов отражения от нижней ( $R_1$ ) и верхней ( $\tilde{R}_2$ ) стенок волновода и замены исходного контура интегрирования контуром спуска, причем способ вычисления интегралов на контуре спуска не предрешен. Подобная процедура, хотя и приводит к физически прозрачному результату, с математической точки зрения нуждается в обосновании. Действительно, для правомерности разложения (1) необходимо исходный контур  $\Gamma$  совместить с контуром  $\Gamma'$ , во всех (или почти во всех) точках которого

выполнено  $|R_1 \tilde{R}_2| < 1$ . На  $\Gamma'$  ряд (1) можно оборвать при  $n < \infty$ , после чего деформировать  $\Gamma'$  в контур спуска  $\Gamma_1$ . При этом надо учесть вклад слагаемых, которые, вообще говоря, добавляются к интегралам по  $\Gamma_1$  при обеих деформациях.

В качестве примера рассмотрим задачу о поле вертикального электрического диполя в трехслойной среде с плоскими границами раздела. В цилиндрической системе координат  $(r, \Phi, z)$  уравнения граничных поверхностей запишем в виде  $z = 0$  и  $z = h$ , диполь поместим в точку

$r = 0, z = z'$  ( $0 \leq z' \leq h$ ). Будем считать нижний полубесконечный слой  $z < 0$  идеально проводящим, а верхний ( $z > h$ ) — однородной изотропной средой с комплексной относительной диэлектрической проницаемостью

$$\epsilon'_m = \rho e^{i\varphi}, \quad \rho \equiv |\epsilon'_m|, \quad \varphi \equiv \arg \epsilon'_m \in \left[0, \frac{\pi}{2}\right].$$

Слой  $0 < z < h$  пусть представляет собой вакуум. Строгое решение сформулированной задачи, записанное для вертикальной компоненты электрического поля  $E_z$  ( $0 \leq z \leq h$ ), имеет вид [7]

$$E_z = E_z^I + \frac{iP_0}{8\pi\epsilon_0 h^3} \sum_{l=1}^4 \alpha_l \int_{\Gamma} \frac{(\beta^2 - \eta^2) \tilde{R}_2}{1 - R_1 \tilde{R}_2} H_l^{(1)} \left( \sqrt{\beta^2 - \eta^2} \frac{r}{h} \right) \exp \left( i\eta \frac{z^{(l)}}{h} \right) d\eta,$$

$$E_z^I \equiv \frac{iP_0}{8\pi\epsilon_0 h^3} \int_{\Gamma} (\beta^2 - \eta^2) H_0^{(1)} \left( \sqrt{\beta^2 - \eta^2} \frac{r}{h} \right) \times$$

$$\times \left\{ \exp \left( \frac{i\eta |z - z'|}{h} \right) + R_1 \exp \left( \frac{i\eta (z + z')}{h} \right) \right\}. \quad (2)$$

Здесь  $P_0$  — полный дипольный момент источника,  $\epsilon_0$  — диэлектрическая проницаемость вакуума,  $\beta \equiv kh$ ,  $k$  — волновое число в вакууме,  $\alpha_1 \equiv 1$ ,  $\alpha_2 = \alpha_3 \equiv R_1$ ,  $\alpha_4 \equiv R_1^2$ ,  $R_1 = 1$ ,  $z^{(1)} \equiv -(z + z')$ ,  $z^{(2)} \equiv z' - z$ ,  $z^{(3)} \equiv z - z'$ ,  $z^{(4)} \equiv z + z'$ ,  $\tilde{R}_2 \equiv R_2 \exp(2i\eta)$ ,  $R_2 = \frac{\epsilon'_m \eta - \sqrt{\eta^2 + \beta^2(\epsilon'_m - 1)}}{\epsilon'_m \eta + \sqrt{\eta^2 + \beta^2(\epsilon'_m - 1)}}$ .

Ветви многозначных функций  $\sqrt{\beta^2 - \eta^2}$  и  $\eta^* \equiv \sqrt{\eta^2 + \beta^2(\epsilon'_m - 1)}$  фиксированы условиями  $\operatorname{Im} \sqrt{\beta^2 - \eta^2} \geq 0$ ,  $\operatorname{Im} \eta^* \geq 0$  (I лист), разрезы проведены вдоль линии  $\operatorname{Im} \sqrt{\beta^2 - \eta^2} = 0$  и  $\operatorname{Im} \eta^* = 0$ . Контур интегрирования  $\Gamma$  идет по берегам разреза  $\operatorname{Im} \sqrt{\beta^2 - \eta^2} = 0$  в I квадранте I листа четырехлистной римановой поверхности (рис. 1). Наконец, зависимость от времени всюду подразумевается в виде  $\exp(-i\omega t)$ .

Первое слагаемое, выделенное в (2), соответствует прямой волне [3, 6], второе — неявно содержит многократно отраженные волны.

Следуя изложенной выше схеме преобразования точного решения, изучим структуру области  $G$ :  $|R_1 \tilde{R}_2| < 1$ . Уравнение границы  $L$  этой области имеет вид  $|R_1 \tilde{R}_2| = 1$  или в параметрической форме  $R_1 \tilde{R}_2 = \exp(2i\theta)$ ,  $\theta \in [0, \pi]$ . Учитывая явные выражения  $R_1$ ;  $\tilde{R}_2$ , последнее уравнение можно переписать в виде

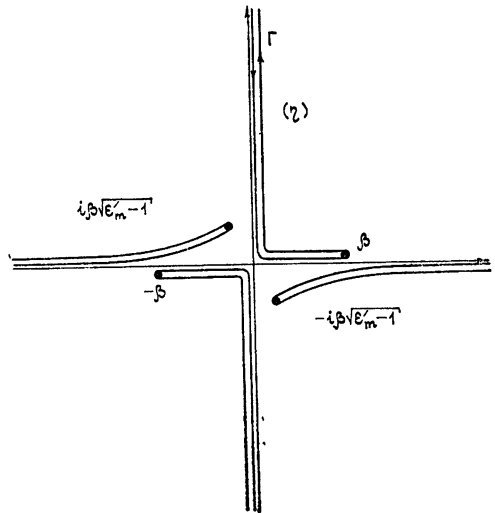


Рис. 1.

$$i\eta \varepsilon'_m \operatorname{tg}(\eta - \theta) = \sqrt{\eta^2 + \beta^2 (\varepsilon'_m - 1)}, \quad \theta \in [0, \pi]. \quad (3)$$

Исследуя (3) при  $\varepsilon'_m = \text{const}$  и изменении  $\beta$  от 0 до  $\infty$ , можно проследить, как деформируется  $L$  (а вместе с тем и  $G$ ) на двулистной римановой поверхности  $\eta^* = \sqrt{\eta^2 + \beta^2 (\varepsilon'_m - 1)}$ . Такое исследование вполне аналогично проделанному в [7], поэтому мы сразу сформулируем окончательные результаты. Структура  $L$  и  $G$  при  $\beta = 0$  схематически изображена на рис. 2 (область  $G$  здесь и ниже выделена штриховкой),  $L$  состоит из двух параллельных вещественных осей прямых

$$\eta = \operatorname{arctg} \frac{i \operatorname{sgn} \operatorname{Im} \eta}{\varepsilon'_m} + \pi m + \theta,$$

расположенных на нижнем листе римановой поверхности  $\eta^*$  и точки  $\eta = 0$ , которая в данном случае является точкой ветвления функции  $\eta^*$ .

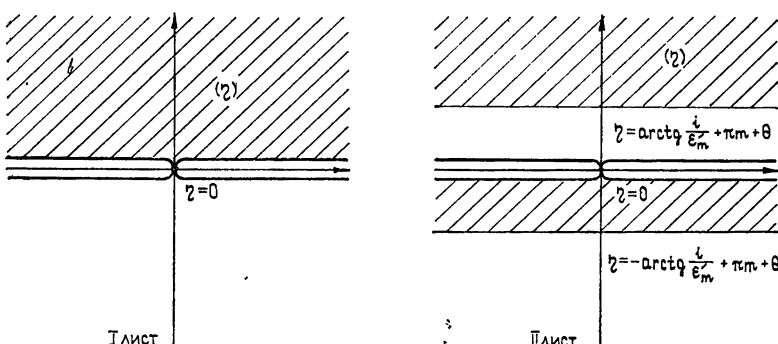


Рис. 2.

При  $\beta = \infty$  картина существенно иная: на каждом листе  $L$  совпадает с вещественной осью, а  $G$  — с верхней полуплоскостью ( $\eta$ ). Схематический вид  $L$  и  $G$  при  $\varphi = \frac{\pi}{2}$  и  $\beta < \beta_1 \equiv -\frac{\operatorname{Im}(\varepsilon'_m \sqrt{\varepsilon'_m - 1})}{|\varepsilon'_m - 1|}$ ,  $\bar{\varepsilon}'_m \equiv \rho e^{-i\varphi}$

представлен на рис. 3. Случай  $\varphi = \frac{\pi}{2}$  — единственный, когда  $L$  не пересекает разрезы  $\operatorname{Im} \eta^* = 0$ . Рис. 4 иллюстрирует вид  $L$  и  $G$  при  $0 < \varphi < \frac{\pi}{2}$  и  $\rho \gg 1$ . Случай (а) имеет место при  $\beta \gg \sqrt{\rho}$ . Звездочкими отмечены изолированные точки  $\eta = \pm \frac{\beta}{\sqrt{\varepsilon'_m + 1}}$ , связанные с особым решением (3) [7]. При безграничном увеличении  $\beta$  линии

$$\eta = \frac{\theta - \frac{\pi}{2}}{1 + \frac{i \varepsilon'_m \operatorname{sgn} \operatorname{Im} \eta^*}{\beta \sqrt{\varepsilon'_m - 1}}},$$

проходящие через начало координат на обоих листах римановой поверхности  $\eta^*$ , стремятся к вещественной оси, а разрезы и особые точки

уходят на бесконечность. Тем самым осуществляется предельный переход  $\beta \rightarrow \infty$ . В случае (б) выполнено  $\beta \ll \frac{\cos^{3/2} \varphi}{\rho^{3/2}}$ ;  $\beta < \beta_1 \approx \sqrt{\rho} \sin \frac{\varphi}{2}$ . Здесь легко проследить предельный переход  $\beta \rightarrow 0$  (см. рис. 2).

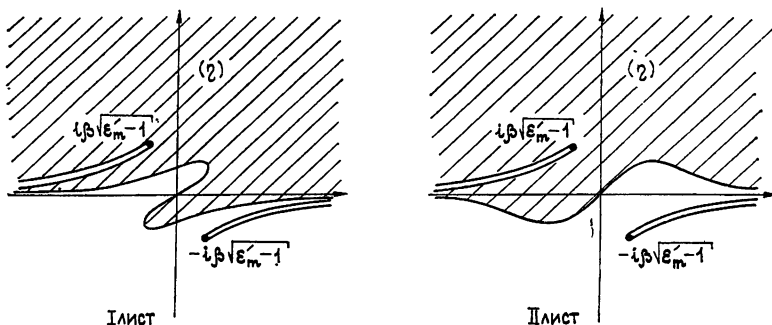


Рис. 3.

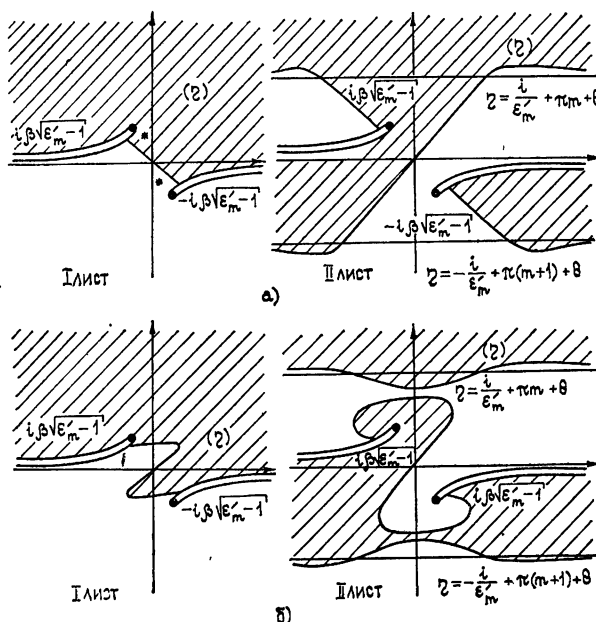


Рис. 4.

Приведем также условия, при совместном выполнении которых  $L$  на I листе идет из III квадранта в I:

$$\rho > 2 \cos \varphi; \quad \beta < \beta_1 \equiv -\frac{\operatorname{Im}(\sqrt{\epsilon_m' - 1})}{|\epsilon_m' - 1|}. \quad (4)$$

Осталось понять, как происходит изменение структуры  $L$  по мере уменьшения  $\beta$  от больших значений (а) к малым (б) (рис. 4). Оказывается, это явление связано с касанием линий  $L$ , которое обусловлено вырождением решений (3). Рассмотрим подробно случай  $\varphi = 0$

(диэлектрический волновод),  $\rho \gg 1$ . При  $|\eta| \ll 1$  и  $\theta = 0$  (3) имеет следующие 4 решения:

$$\eta = \pm i \sqrt{1 \pm \sqrt{1 - \frac{\beta^2}{\beta_0^2}}} / \sqrt[4]{2\rho}, \quad \beta_0 \equiv \frac{1}{2\rho^{3/2}}. \quad (5)$$

На рис. 5, схематически изображающем  $L$  и  $G$  на II листе в рассматриваемом случае, эти корни отмечены крестиками. При  $\beta \gg \beta_0$  все 4 корня (5) заведомо различны (рис. 5а) и по мере уменьшения  $\beta$  стремятся к мнимой оси. При  $\beta = \beta_0$  имеет место вырождение решений (5) и касание линий  $L$  в точках  $\eta = \pm \frac{i}{\sqrt[4]{2\rho}}$  (рис. 5б). При дальнейшем уменьшении  $\beta$  происходит расщепление решений (5), причем одна пара корней стремится к началу координат, увлекая за собой область в виде «восьмерки», а другая — удаляется от него в направлении, указанном на рис. 5в стрелками.

Из изложенного выше становится ясным, что при выполнении условия (4) разложение (1) теряет смысл на исходном контуре интегрирования  $\Gamma$  (рис. 1). Как это видно из рис. 3, 4, в таком случае  $\Gamma$  можно деформировать в I квадранте I и III листов ( $\text{Im } \eta^* > 0, \text{Im } \sqrt{\beta^2 - \eta^2} \geq 0$ ) четырехлистной римановой поверхности так, чтобы новый контур  $\Gamma'$  целиком попадал в область:

$|R_1 \tilde{R}_2| < 1$ . Подынтегральное выражение (2) не имеет особенностей в I квадранте I и III листов [7], и деформация  $\Gamma$  в  $\Gamma'$  происходит без препятствий. На контуре  $\Gamma'$  можно представить разложение (1) во второе слагаемое (2) и, оборвав ряд (1) при  $n < \infty$ , вернуться к исходному контуру интегрирования  $\Gamma$  (полюсы  $R_2$  не попадают в I квадрант ( $\eta$ ) и не затрагиваются при деформации).

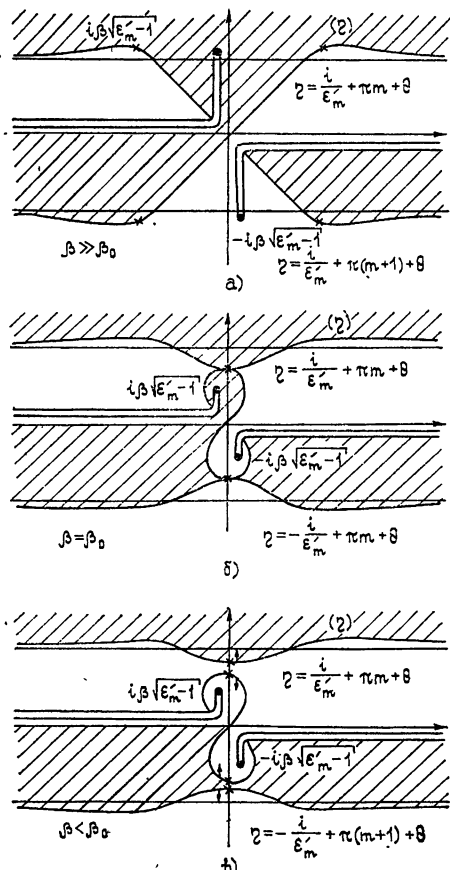


Рис. 5.

Преобразованные, как указано выше, интегралы по  $\Gamma$  удобно вычислять на комплексной плоскости  $\psi$ :  $\eta = \beta \sin \psi, \text{Re } \psi \in [-\pi, \pi]$ .

Преобразование  $\eta = \beta \sin \psi$  переводит четырехлистную риманову поверхность в двулистную с разрезами  $\text{Im } \sqrt{\epsilon_m' - \cos^2 \psi} = 0$ , причем  $\text{Im } \sqrt{\epsilon_m' - \cos^2 \psi} > 0$  на I листе (рис. 6). Подразумевая выполненным условие  $kr \cos \psi_n^{(j)} > 1$ ,  $\psi_n^{(j)} = \arccos \frac{r}{r_n^{(j)}}$ ,  $r_n^{(j)} \equiv \sqrt{r^2 + (2nh + z^{(j)})^2}$ ,

деформируем  $\Gamma$  в контур скорейшего спуска  $\Gamma_1$ :  $\operatorname{Re} \cos(\psi - \psi_n^{(j)}) = 1$ ,  $\operatorname{Im} \cos(\psi - \psi_n^{(j)}) > 0$ .

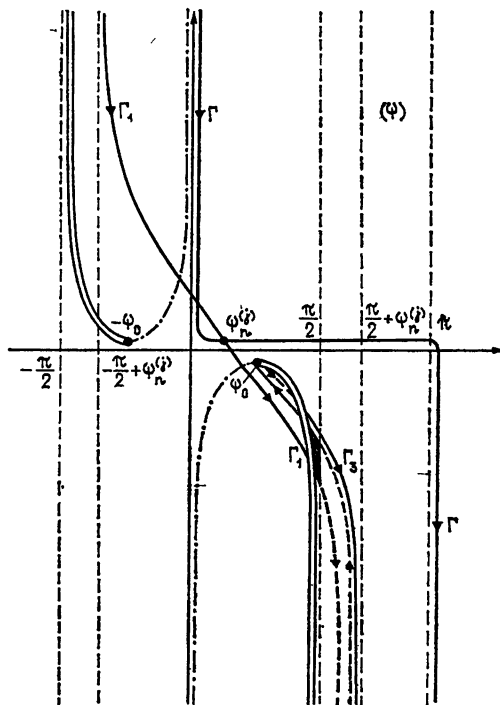


Рис. 6.

На рис. 6 показан один из вариантов расположения  $\Gamma_1$  (пунктир указывает на принадлежность II листу).

Введем следующие обозначения:

$$\operatorname{tg} \frac{\gamma^{(\pm)}}{2} \equiv \pm \frac{\sqrt{a^2 + b^2 - 1} - b}{a + 1} \quad (a \geq 1), \quad (6)$$

$$a \equiv \operatorname{Re} \sqrt{\epsilon_m'} > 0, \quad b \equiv \operatorname{Im} \sqrt{\epsilon_m' - 1} > 0 \quad (\text{всегда } a^2 + b^2 \geq 1).$$

Нетрудно убедиться в том, что при выполнении условия

$$\psi_n^{(j)} < \gamma^{(+)} \quad (a > 1) \quad (7)$$

к интегралу по  $\Gamma_1$  следует прибавить интеграл по берегам разреза  $\Gamma_2$ :  $\operatorname{Im} \sqrt{\epsilon_m' - \cos^2 \psi} = 0$  во II квадранте комплексной плоскости  $(\psi)$ , а при совместном выполнении условий

$$\psi_n^{(j)} < \gamma^{(-)} \quad (a < 1), \quad \psi_n^{(j)} < \operatorname{Re} \psi_0, \quad (8)$$

$$\psi_0 \equiv \arccos \sqrt{\epsilon_m'}$$

к интегралу по  $\Gamma_1$  добавляется интеграл по разрезу в IV квадранте. В обоих случаях контур спуска уходит на бесконечность на нижнем листе.

С математической точки зрения интеграл по берегам разреза  $\operatorname{Im} \sqrt{\epsilon_m' - \cos^2 \psi} = 0$  представляет собой аналог интеграла по сплош-

ному спектру поперечного оператора задачи Зоммерфельда [6]. Его интерпретация связана с боковыми волнами [6-9].

Считая  $|kr\sqrt{\epsilon'_m}| > 1$ , совместим в свою очередь контур  $\Gamma_2$  с контуром быстрейшего спуска  $\Gamma_3$ :  $\operatorname{Re} \cos(\psi - \psi_n^{(j)}) = \operatorname{Re} \cos(\psi_0 + \psi_n^{(j)}) \operatorname{sgn} \operatorname{Im} \psi$ ,  $\operatorname{Im} \cos(\psi - \psi_n^{(j)}) > 0$ . На рис. 6 схематически изображен контур  $\Gamma_3$  в IV квадранте. Он охватывает точку ветвления  $\psi_0$ , дважды пересекает разрез и асимптотически уходит на бесконечность (на обоих листах) вдоль прямых  $\operatorname{Re} \psi = \frac{\pi}{2} + \psi_n^{(j)}$ .

Выясним, не препятствуют ли полюсы подынтегральных выражений деформациям  $\Gamma$  в  $\Gamma_1$  и  $\Gamma_2$  в  $\Gamma_3$ . Коэффициент отражения  $R_2(\psi) =$

$$= \frac{\epsilon'_m \sin \psi - \sqrt{\epsilon'_m - \cos^2 \psi}}{\epsilon'_m \sin \psi + \sqrt{\epsilon'_m - \cos^2 \psi}}$$

имеет два симметричных относительно

начала координат полюса  $\psi = \mp \arcsin \frac{1}{\sqrt{\epsilon'_m + 1}}$ ,  $|\operatorname{Re} \psi| < \frac{\pi}{2}$ ,

расположенных соответственно во II квадранте I листа и IV квадранте II листа Римановой поверхности  $\sqrt{\epsilon'_m - \cos^2 \psi}$ . Полюс  $\psi = -\arcsin \times \frac{1}{\sqrt{\epsilon'_m + 1}}$  попадает в область ниже линии разреза  $\operatorname{Im} \sqrt{\epsilon'_m - \cos^2 \psi} = 0$

и ее продолжения  $\operatorname{Re} \sqrt{\epsilon'_m - \cos^2 \psi} = 0$  (обозначенного на рис. 6 разделенным пунктиром) и ниже контура спуска  $\Gamma_1$ . Поэтому он не затрагивается при деформациях. Полюс  $\psi^* \equiv \arcsin \frac{1}{\sqrt{\epsilon'_m + 1}}$  следует при-

нимать во внимание лишь в случае однократного пересечения  $\Gamma_1$  с разрезом. Если  $\psi^*$  попадает в область между контурами  $\Gamma_1$  и  $\Gamma_3$  (на рис. 6 эта область затемнена), то при совмещении  $\Gamma_2$  с  $\Gamma_3$  выделяются внеинтегральные слагаемые (вычеты в кратном полюсе  $R_2^n(\psi)$  на II листе). Полюс, расположенный ниже этой области, пересекается при деформациях дважды, и вычеты в нем взаимно уничтожаются.

Суммируя сказанное выше, вместо (2) будем иметь

$$E_z = E_z^1 + \sum_{n \geq 1} R_1^{n-1} \sum_{j=1}^4 \alpha_j \int_{\Gamma_1} F_j^{(n)}(\psi) d\psi + ,$$

$$+ \sum_{n \geq 1} R_1^{n-1} \sum_{j=1}^4 \alpha_j \int_{\Gamma_3} F_j^{(n)}(\psi) d\psi + \sum_{n \geq 1} R_1^{n-1} \sum_{j=1}^4 \alpha_j P_j^{(n)}, \quad (9)$$

$$F_j^{(n)}(\psi) \equiv \frac{iP_0 k^3}{8\pi\epsilon_0} \cos^{5/2} \psi H_0^{(1)}(kr \cos \psi) R_2^n(\psi) \exp[ik(2nh + z^{(j)}) \sin \psi],$$

$$P_j^{(n)} \equiv \operatorname{Res} F_j^{(n)}(\psi) \Big|_{\psi^*}$$

при совместном выполнении условий

$$1 > \operatorname{Re} \cos(\psi^* - \psi_n^{(j)}) > \operatorname{Re} \cos(\psi_0 - \psi_n^{(j)}),$$

$$\psi_n^{(j)} < \operatorname{Re} \psi^*, \quad \psi_n^{(j)} < \operatorname{Re} \psi_0, \quad (10)$$

$$\psi^* \equiv \arcsin \frac{1}{\sqrt{\epsilon'_m + 1}}, \quad \psi_0 \equiv \arccos \sqrt{\epsilon'_m} \text{ и } P_j^{(n)} \equiv 0$$

во всех остальных случаях.

Система неравенств (10) в принципе может быть совместной в случае  $\operatorname{Re} \sqrt{\epsilon'_m} < 1$ . При  $|\epsilon'_m| \ll 1$  она упрощается и принимает вид  $\arg \epsilon'_m > \frac{\pi}{3}$ ,  $\psi_n^{(l)} < \frac{\pi}{2} - \operatorname{Re} \sqrt{\epsilon'_m}$ .

Выясним физический смысл внеинтегральных слагаемых (9). Асимптотическое выражение каждого из них можно представить в виде

$$R_1^{n-1} \alpha_j P_j^{(n)} = \frac{k^3 P_0 \sqrt{2i \epsilon'_m}}{8\pi \epsilon_0 (\epsilon'_m + 1) \sqrt{kr}} \operatorname{Res} R_2^n(\psi) |_{\psi^*} R_1^{n-1} \alpha_j \exp [ikr_n^{(l)} \cos(\psi^* - \psi_n^{(l)})], \quad (11)$$

причем оказывается

$$\operatorname{Re} \cos(\psi^* - \psi_n^{(l)}) < 1,$$

$$\begin{aligned} x_0 &\equiv \operatorname{Im} \cos(\psi^* - \psi_n^{(l)}) = \\ &= \frac{1}{r_n^{(l)}} \left[ r \operatorname{Im} \sqrt{\frac{\epsilon'_m}{\epsilon'_m + 1}} + (2nh + z^{(l)}) \operatorname{Im} \frac{1}{\sqrt{\epsilon'_m + 1}} \right] > 0. \end{aligned} \quad (12)$$

Выражение (11) можно интерпретировать как быструю поверхностную волну, распространяющуюся в вакууме вдоль геометрооптического пути  $r_n^{(l)}$  с фазовой скоростью  $v = \frac{c}{\operatorname{Re} \cos(\psi^* - \psi_n^{(l)})}$ , большей скорости света

в пустоте  $c$  и затуханием  $x_0$  (12), причем обе величины ( $v$  и  $x_0$ ) зависят как от свойств верхнего полупространства ( $\psi^*$ ), так и от угла падения волны на стенки волновода ( $\psi_n^{(l)}$ ). Поскольку  $z^{(l)} \geq 0$ , то, как это видно из (11), (12), одна пара волн (в сумме по  $j$  в (9)) экспоненциально возрастает с подъемом наблюдателя, а другая — наоборот, убывает, т. е. мы имеем дело с волнами, «прилипшими» соответственно к верхней и нижней стенкам волновода. Для каждой из этих волн характерен экспоненциальный рост с увеличением высоты волновода  $h$  и экспоненциальное убывание с ростом расстояния  $r$ .

Поверхностные волны (11) являются аналогом волны Ценнека в задаче Зоммерфельда (вычета в полюсе коэффициента отражения Френеля на верхнем (и единственном в рамках импедансной постановки) листе) [6]. Отметим, что возможность появления поверхностной волны типа (11) в задаче о поле диполя над плоской границей разделя упущена Бреховских в [8].

Отметим также, что разложение поля по многократно отраженным и боковым волнам в более простом случае диэлектрической плоскослоистой среды получено в [9]. При отсутствии потерь внеинтегральные члены типа (11) в представлении поля не возникают.

Обратимся к выражению (9). Каждое слагаемое (9) имеет четкий физический смысл. Первое, как уже отмечалось, соответствует прямой волне. Асимптотические разложения интегралов по контурам спуска  $\Gamma_1$  (в условиях применимости метода перевала) имеют смысл геометрооптических лучей. Именно эти слагаемые и следует называть лучами

(или многократно отраженными волнами) в дифракционно-лучевом методе. Интегралы по контурам быстрейшего спуска  $\Gamma_3$  (и именно они, а не интегралы по берегам разреза  $\Gamma_2$  [8]) соответствуют боковым волнам. Наконец, внеинтегральные слагаемые (вычеты в полюсе коэффициента отражения Френеля на нижнем, «нефизическом» листе) интерпретируются как быстрые поверхностные волны. В рамках импедансной постановки задачи два последние типа волн, очевидно, не возникают. Далее, формула (9) показывает, что в представлении поля наряду с прямой и многократно отраженными волнами участвуют также волны другого типа — боковые и поверхностные волны. Следовательно, так называемое разложение поля по лучам (без учета двух последних групп слагаемых в (9)), вообще говоря, не является строгим и не эквивалентно разложению поля по нормальным волнам, как утверждается в [4, 5]. По-видимому, и в рамках других задач метод разложения по лучам нуждается в уточнении.

Получим асимптотическое выражение для боковых волн  $E_z^{(III)}$ , вычислив интегралы по контуру  $\Gamma_3$  в (9) методом скорейшего спуска. Функцию Ханкеля заменим ее асимптотикой и перейдем к переменной  $\tau$ :  $\cos(\psi - \psi_n^{(l)}) = \cos(\psi_0 + \psi_n^{(l)} \operatorname{sgn} \operatorname{Im} \psi) + \frac{i \tau^2}{kr_n^{(l)}}$ . После стандартных преобразований и упрощений будем иметь

$$E_z^{(III)} = \frac{i P_0 k^3}{2\pi\epsilon_0 \sqrt{kr \sin \psi_0}} \sum_{n>1} n R_1^{n-1} \sum_{j=1}^4 \alpha_j \times \\ \times \frac{\exp[ik_2 L_n^{(l)} + ik(2nl + l^{(l)}) - k \times (2nl + l^{(l)})]}{[kr_n^{(l)} \sin(\psi_0 \pm \psi_n^{(l)})]^{3/2}}; \quad (13)$$

$$\alpha \equiv \cos \gamma \operatorname{Im} \sqrt{\epsilon_m'} \pm \sin \gamma \operatorname{Re} \sqrt{\epsilon_m' - 1}; \quad (14)$$

$$l \equiv \frac{h}{\sin \gamma}, \quad l^{(l)} \equiv \frac{z^{(l)}}{\sin \gamma}, \quad L_n^{(l)} \equiv r - \frac{(2nh + z^{(l)})}{\operatorname{tg} \gamma}, \quad (15)$$

$\sin \psi_0 = -i \sqrt{\epsilon_m' - 1}$ ,  $k_2 = k \sqrt{\epsilon_m'}$ , а под величиной  $\gamma$  подразумевается одна из величин  $\gamma^{(\pm)}$ , определенных формулой (6). В выражениях (6), (13), (14) следует брать знак (+), если выполнено условие (7), и знак (-), если выполняется (8). Геометрический смысл величин  $\gamma$ ,  $\psi_n^{(l)}$ ,  $L_n^{(l)}$  и т. д., а также условия  $\psi_n^{(l)} < \gamma$  (см. формулы (7), (8)) ясен из рис. 7, на котором изображены траектории геометрооптического луча ABCDE и боковой волны AFGHNE при  $n = 1$  и  $j = 2$ . Как видно из выражений (6) — (8) и (13), в зависимости от свойств верхнего полупространства возникают быстрые или медленные боковые волны с фазовой скоростью вдоль верхней стенки волновода  $v = \frac{c}{\operatorname{Re} \sqrt{\epsilon_m'}} \geq c$ .

Затухание  $\times$  и угол падения  $\gamma$  быстрых и медленных волн различны (формулы (6) и (14)).

При  $n \geq 2$  формула (15) предсказывает лишь суммарный путь  $L_n^{(l)}$  вдоль верхней стенки волновода. Следовательно, точки «срыва» боковой волны, а значит, и точки отражения от нижней стенки волновода, в отличие от геометрооптических лучей, произвольны, и каждому слагаемому с  $n \geq 2$  в (13) соответствует некоторое семейство боковых

волн. Неоднозначность пути распространения боковой волны в волноводе приводит к своеобразному усреднению поля вдоль трассы распространения. Это свойство обеспечивает стабильность поля боковых волн в волноводном канале Земля—ионосфера (в отличие от поля геометрооптических или поверхностных волн).

Кроме случая  $\phi = 0$ ,  $\rho < 1$  боковые волны всегда экспоненциально затухают с расстоянием. Затухание вдоль верхней стенки волновода ( $L_n^{(j)}$ ) обусловлено потерями в верхнем полупространстве, а вдоль пути в вакууме ( $2n l + l^{(j)}$ ) — не связано с механизмом потерь и определяется величиной  $\kappa$  (14). Оказывается,  $\kappa \geq 0$  и  $\kappa = 0$  только при  $\phi = 0$ ,  $\rho < 1$ . В силу сказанного вклад боковых волн в поле, вообще говоря, является малым. Однако возможны ситуации, к примеру, в задаче о дальнем распространении средних или коротких волн, когда вклад геометрооптических слагаемых из-за  $R_n^2$  также невелик (коэффициент отражения от ионосферы  $|R_2| \ll 1$  [4]). В таком случае вопрос об относительной роли боковых (и поверхностных) и многократно отраженных волн следует решать в рамках модели, учитывающей реальные свойства ионосферы, и, в первую очередь, сферичность волноводного канала и неоднородность ионосферы по высоте.

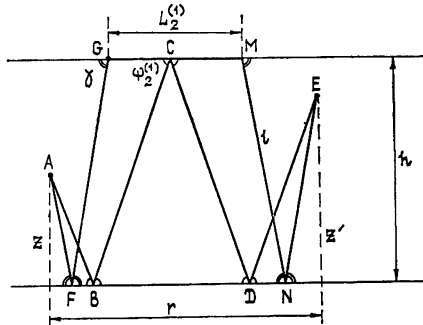


Рис. 7.

#### ЛИТЕРАТУРА

- П. Е. Краснушкин, Метод нормальных волн в применении к проблеме дальних радиосвязей, изд. МГУ, М., 1947.
- Г. И. Макаров, В. В. Новиков, Проблемы дифракции и распространения волн, вып. 7, 19 (1968).
- Н. Времмер, Terrestrial Radio Waves, N. Y., 1949.
- Я. Л Альперт, Распространение электромагнитных волн и ионосфера, изд. Наука, М., 1972.
- Э. М Гюннинен, И. Н. Забавина, Проблемы дифракции и распространения волн, вып. 5, 5 (1966).
- Г. И. Макаров, В. В. Новиков, Четыре лекции по теории распространения радиоволн, изд. ЛГУ, Ленинград—Петродворец, 1972.
- Г. И. Макаров, В. В. Новиков, Проблемы дифракции и распространения волн, вып. 11, 3 (1972).
- Л. М. Бреховских, Волны в слоистых средах, изд. Наука, М., 1973.
- T. Tamir and L. B. Felsen, IEEE Trans., AP-13, № 3, 410 (1965).

Ленинградский государственный  
университет

Поступила в редакцию  
18 ноября 1977 г.

#### ON THE METHOD OF MULTIPLE REFLECTED WAVES

G. I Makarov, L. A. Fedorova

A problem is considered of the strictness of the field presentation in a waveguide in the form of a series of multiple reflected waves. In the frames of a plane model it is shown that a strict solution of the waveguide problem together with the ray expansion contains the wave expansion of another type (side and surface waves). Same properties of side and surface waves in a waveguide are discussed.